

سنتز، شناسایی، بهینه سازی و مدلسازی تولید صمغ کردلان از *Paenibacillus polymyxa* بوسیله روش سطح پاسخ (RSM)

سید مهدی رفیق^{a*}، منوچهر وثوقی^b، علی وزیری^c، علی اکبر سیف کردی^c، مهدی ارجمند^d

^a دانش آموخته دکتری گروه مهندسی شیمی، واحد علوم و تحقیقات تهران، دانشگاه آزاد اسلامی، تهران، ایران

^b استاد گروه مهندسی شیمی و نفت، دانشگاه صنعتی شریف، تهران، ایران

^c استاد گروه مهندسی شیمی، واحد علوم و تحقیقات تهران، دانشگاه آزاد اسلامی، تهران، ایران

^d استادیار گروه مهندسی شیمی، واحد تهران جنوب، دانشگاه آزاد اسلامی، تهران، ایران

تاریخ پذیرش مقاله: ۱۳۹۳/۴/۱۶

تاریخ دریافت مقاله: ۱۳۹۳/۳/۲۱

۱۳

چکیده

مقدمه: صمغ کردلان یک بیوپلیمر پلی ساکاریدی باکتریایی است که از پیوند های β -(۱-۳) دی گلیکوزیدی حاصل می شود. بعلاوه توانایی دلمه‌ای شدن و نگهداری آب، کردلان در تولید مواد غذایی متعدد نظیر انواع ژله‌ها، نودل‌ها و فیبرهای خوراکی کاربرد دارد. همچنین کردلان زیست تخریب پذیر، غیرسمی، دارای خواص بیولوژیکی و کاربردهای وسیعی در صنایع دارویی است. در این تحقیق برای اولین بار تولید، بهینه سازی ترکیبات محیط کشت ناپیوسته، مدل سازی تولید صمغ کردلان بوسیله سویه *Paenibacillus polymyxa* PTCC 1020 با استفاده از روش سطح پاسخ (RSM) و تعیین خصوصیات کردلان انجام شد.

مواد و روش‌ها: پس از آماده سازی میکروارگانیزم و محیط کشت، ابتدا از طرح Plackett-Burman و تعداد ۱۲ آزمایش بمنظور یافتن عوامل مغذی موثر از میان ۱۱ متغیر محیط کشت ناپیوسته برای تولید کردلان استفاده شد. سپس با استفاده از روش سطح پاسخ با طرح مرکب مرکزی، ۲۰ آزمایش برای بهینه سازی متغیرهای موثر استفاده شد. همچنین ۴ روش XRD، FT-IR، ^{13}C NMR و DSC برای شناسایی کردلان بکار گرفته شد.

یافته‌ها: نتایج نشان داد که ۳ عامل مغذی بترتیب گلوکز، عصاره مخمر، تریتون x-۱۰۰ در محیط کشت تولید کردلان موثر هستند. حداکثر تولید کردلان ۴/۷۵ g/l از شرایط بهینه گلوکز (۱۰۰ g/l)، عصاره مخمر (۲/۵ g/l)، تریتون x-۱۰۰ (۳ g/l) بدست آمد. همچنین در این تحقیق، وزن مولکولی صمغ کردلان $10^6 \times 1/7$ Da با استفاده از GPC تعیین شد.

نتیجه گیری: نتایج حاصل بیانگر این بود که سویه مورد مطالعه در این تحقیق توانایی تولید صمغ کردلان را با نرخ رشد ویژه (μ) بیشتر نسبت به تحقیقات گذشته دارد. همچنین صحت تولید صمغ کردلان با استفاده از روش های شناسایی تایید شد.

واژه‌های کلیدی: بهینه سازی، روش سطح پاسخ (RSM)، صمغ کردلان، *Paenibacillus polymyxa*

مقدمه

صمغ کردلان^۱ یک بیوپلیمر پلی ساکاریدی، باکتریایی خارج سلولی، خنثی، خطی بدون شاخه و بطور کامل شامل پیوندهای β -(۱-۳) دی گلیکوزیدی می باشد (Lee, 2005). نامگذاری کردلان بعلاوه توانایی دلمه^۲ شدن آن هنگامی است که در معرض گرما قرار می گیرد (Harada, 1977). همین خاصیت باعث می شود که کردلان را بعنوان ماده ای ژله ای مناسب برای بهبود کیفیت بافت ها، قدرت نگهداری آب و پایداری حرارتی محصولات تجاری متعدد در نظر گرفت (Jezequel, 1998). کردلان دارای پتانسیل استفاده در تولید محصولات غذایی همانند انواع ژله ها، نودل ها، فیبرهای خوراکی، غذاهای یخ زده و اخیراً محصولات کاهش دهنده کالری می باشد (Funami & Nishinari, 2007; Zhang & Nishinari, 2010; Wang et al., 2010; Funami et al., 1998; Zhang & Nishinari, 2009). کردلان زیست تخریب پذیر، خوراکی و غیر سمی برای محیط زیست و انسان ها است و ظرفیت روز افزونی در صنایع داروسازی بدلیل وجود پتانسیل فعالیت های بیولوژیکی منحصر بفرود دارد (Spicer et al., 1999; Zhang & Edgar, 2014; Lee, 2005). صمغ کردلان و مشتقات آن بعنوان حامل های دارورسانی برای رهایش هدفمند مواد دارویی و همچنین پایه حمایتی برای تثبیت آنزیم ها کاربرد دارند (Takeda-Hirokawa et al., 1997; Kim et al., 2000; Saudagar & Singhal, 2004; Renn, 1997). مشتقات هیدروکسی اتیل کردلان بعنوان ابزاری کمکی در دارورسانی پروتئینی نیز کاربرد دارند (Renn, 1997). سولفات کردلان و مشتقات آن خاصیت بالای ضد سندروم نقص ایمنی اکتسابی (AIDS) با حداقل تاثیرات جانبی را دارا می باشند (Aoki et al., 1991; Jagodzinski et al., 1994; Takeda-Hirokawa et al., 1997; Jeon et al., 1997; Gao et al., 1999). همچنین، سولفات کردلان دارای تاثیرات بازدارندگی قوی ضدلختگی خون می باشد و می توان آن را در درمان بیماری ترومبوزیس^۳ بکار برد (Alban & Franz, 2000). وجود این خواص متعدد باعث می شود تا صمغ کردلان بعنوان یک ماده جذاب برای صنایع غذایی و دارویی قرار گیرد. مطالعات گذشته بطور عمده به تولید کردلان و

بهینه سازی شرایط کشت تخمیری با استفاده از باکتری های گونه های *Agrobacterium* و *Alcaligenes* بوده است (Kim et al., 2003; Lee et al., Kim et al., 2000) 1999a; Lee et al., 1999b; Wu et al., 2008; West (& Nemmers, 2008; Jin et al., 2008; Xia, 2013). اخیراً نیز سویه های *Bacillus* و *Pseudomonas sp.* SNC 107 نیز برای تولید کردلان بکار گرفته شده اند (Gummadi & Kumar, 2005; Cui & Qiu, 2012). همچنین، مدل های پیش بینی کننده بعنوان یک ابزار آگاهی بخش برای مطالعه سریع و کم هزینه رشد میکروبی، توسعه محصولات میکروبی، ارزیابی میزان خطر و سایر اهداف علمی متعدد در علم بیوتکنولوژی پذیرفته شده اند (Khoramnia et al., 2011).

روش سطح پاسخ^۴ (RSM) یک تکنیک برای طراحی آزمایشات بمنظور ایجاد مدلی ریاضی پیش بینی کننده است که توانایی ارزیابی میزان تاثیر تعدادی عامل (متغیرهای مستقل) را بر روی یک پاسخ مطلوب (متغیر وابسته) را دارد (Hamsaveni et al., 2001). در حقیقت RSM، تکنیکی آماری است که از اطلاعات کمی حاصل از تعداد مناسبی آزمایش، بطور همزمان برای تعیین و همچنین تحلیل معادلات چند پارامتری برای رسیدن به شرایط بهینه استفاده می کند (Daramola et al., 2007; Kalil et al., 2000). روش سطح پاسخ یک تکنیک مناسب و مرسوم برای بهینه سازی اجزاء محیط کشت و دیگر متغیرهای تاثیر گذار برای تولید بیومولکول ها و بیوپلیمرهایی از قبیل: صمغ کردلان، صمغ زانتان، صمغ گلان، صمغ ولان، پولالان، سلولز میکروبی، دکستران، لوان و اسیدهای آلی همچون اسید سیتریک و اسید سوکسینیک می باشد (Banik et Psomas et al., 2007; al., 2007; Panesar et al., 2012; Ben Salah et al., 2010; Sim & Kamaruddin, 2008; Chen et al., 2012; Naessens et al., 2004; Bajaj et al., 2006; Kalil et al., 2000; Cui & Qiu, 2012).

Paenibacillus polymyxa یک باکتری گرم مثبت، هوازی و ندرتاً غیر هوازی، میله ای شکل و ایجاد کننده اسپور است که معمولاً در خاک و اندام ریشه گیاهان یافت می شود (Timmusk et al., 1999; Ash et al., 1991). این گونه در سال های اخیر تبدیل به یک میکروارگانیزم

¹ Curdlan Gum² Curdle³ Thrombosis⁴ Response Surface Methodology

سپس این پلیت ها را در یخچال با دمای 4°C نگهداری شدند. این پلیت ها هر دو هفته تجدید کشت شد.

- شرایط کشت ناپیوسته

کلونی های رشد کرده بر روی پلیت ها را به اندازه 1 cm^2 برداشته و به ارلن های 250 cc که شامل 50 cc محیط پیش کشت است، تلقیح شد. این پیش کشت را در 30°C داخل شیکر انکوباتور به مدت ۲۴ ساعت در 120 rpm گرمخانه گذاری شد. سپس 40 cc از این محیط پیش کشت به یک ارلن یک لیتری شامل 400 cc محیط کشت تخمیر تلقیح شد. این کشت در 30°C داخل شیکر انکوباتور به مدت ۹۶ ساعت در 180 rpm گرمخانه گذاری شد.

- تخمین مقدار صمغ کردلان و وزن توده سلولی

راندمان تولید کردلان و توده سلولی را مطابق روش اصلاح شده از دستورالعملی که قبلاً گزارش شده، انجام شد (Lee et al., 1999b). در این روش، محیط کشت تخمیر را پس از همگن سازی بمدت ۱۰ دقیقه با دور $10000 \times \text{g}$ در دمای 5°C سانتری فوژ شد. سپس ذرات شامل کردلان خام و سلول ها استحصال شد. کردلان را با افزودن 10 cc محلول سود ۲ مولار بمدت یک ساعت بصورت محلول در آورده و سپس سلول ها بوسیله سانتری فوژ با دور $10000 \times \text{g}$ بمدت ۱۵ دقیقه جداسازی شدند. کردلان موجود در مایع رویی با افزودن حجم مناسبی از اسید کلریدریک ۲ مولار رسوب شد. سلول ها و کردلان را ۳ بار با آب مقطر شسته و در دمای 80°C تا رسیدن به وزن ثابت نگهداری شدند. بمنظور تعیین گلوکز اضافی در محیط تخمیر، از روش دی نیترو سالیسیک اسید استفاده شد (Miller, 1959). همچنین بمنظور اندازه گیری قند کل از روش فنل - اسید سولفوریک استفاده شد (Dubois et al., 1956).

- شناسایی صمغ کردلان

بمنظور اطمینان از صحت تولید صمغ کردلان، ۴ آزمون شناسایی (FT-IR، ^{13}C NMR، XRD و DSC) هر کدام برای کردلان خالص تولید شده در این تحقیق و نمونه کردلان تجاری سیگما تهیه شده از گونه *Alcaligenes faecalis* انجام گرفت.

بیولوژیکی مهم شده است و در سال ۲۰۰۲ میلادی بعنوان یکی از مهم ترین میکروارگانیسم ها بوسیله آژانس حمایتی محیط (EPA) معرفی شده است (Bent et al., 2002).

به منظور اینکه صمغ کردلان در رقابت با سایر پلی ساکاریدهای تجاری باقی بماند، لزوم افزایش جذابیت های اقتصادی در میزان راندمان تولید و کاهش هزینه های تولید آن ضروری بنظر می رسد. هدف از این تحقیق، برای اولین بار مطالعه امکان تولید، ارزیابی خصوصیات محصول پلیمر نهایی، بهینه سازی محیط کشت و ارائه مدلی با استفاده از روش سطح پاسخ برای تولید کردلان از گونه *Paenibacillus polymyxa* PTCC 1020 است.

مواد و روش ها

همه ترکیبات و مواد شیمیایی استفاده شده در این تحقیق با درجه آزمایشگاهی از شرکت سیگما (Sigma-Aldrich, St. Louis, MO, USA) خریداری شده است.

- آماده سازی محیط های کشت و پیش کشت:

محیط پیش کشت شامل مواد زیر (گرم بر لیتر) است: ۲۰: گلوکز، ۵: عصاره مخمر، ۵: Peptone، ۱: KH_2PO_4 ، ۰/۵: $\text{MgSO}_4 \cdot 7\text{H}_2\text{O}$. محیط کشت تخمیر نیز شامل مواد زیر (گرم بر لیتر) است: ۵۰: گلوکز بعنوان منبع کربن، ۱: عصاره مخمر بعنوان منبع نیتروژن، ۲: KH_2PO_4 ، ۰/۵: K_2HPO_4 ، ۱: $\text{FeCl}_3 \cdot 6\text{H}_2\text{O}$ ، ۱: $\text{MnCl}_2 \cdot 4\text{H}_2\text{O}$ ، ۱: $\text{CaCl}_2 \cdot 2\text{H}_2\text{O}$ ، ۰/۵: $\text{MgSO}_4 \cdot 7\text{H}_2\text{O}$ ، ۱: NaCl است. بمنظور تنظیم $\text{pH} = 7$ محیط ها، از اسید کلریدریک نیم نرمال و سود یک نرمال استفاده شد و سپس محیط ها را برای مدت ۲۰ دقیقه در دمای 121°C سانتی گراد در فشار $1/5\text{ atm}$ داخل اتوکلاو استریل شدند.

- میکروارگانیسم

سویه *Paenibacillus polymyxa* PTCC 1020 از مرکز کلکسیون قارچ ها و باکتری های سازمان پژوهش های علمی و صنعتی ایران بصورت کشت لیوفیلیزه در آمپول تهیه شد. سپس این کشت باکتری را به پلیت های شامل محیط کشت رشد (نوترینت آگار) برای مدت ۴۸ ساعت در دمای 24°C بمنظور رشد اولیه ارگانیسم ها قرار گرفت و

انجام گرفت: حل کردن نمونه کردلان در حلال تتراهیدروفوران (THF) در شرایطی که نوع ذرات پرکننده ستون اولترا استایراژل بقطر $10^6 - 10^3$ Å؛ سرعت جریان یک میلی لیتر بر دقیقه در دمای 30°C و بصورت اتوماتیک، زمان تجزیه ۴۵ دقیقه؛ غلظت محلولها ۰/۵ گرم در cc ۱۰۰ حلال و نوع استاندارد پلی استرین ($10^6 \bar{M}_W \times 3-2000$) بود.

- طرح پلاکت برمان^۶ (PBD)

طرح PBD یک ابزار بسیار مفید بمنظور غربالگری عوامل موثر از میان N متغیر فقط بوسیله تعداد N+1 شماره آزمایش است (Plackett & Burman, 1946). این طرح در بسیاری از تحقیقات بیوتکنولوژی مورد توجه خاص محققان قرار گرفته است (Naveena et al., 2005; Chauhan et al., 2007). از نظر سیستماتیک، استفاده از این طراحی در شرایطی توصیه می شود که تعداد متغیرها بیش از ۶ باشد و محقق لازم بداند، اهمیت و ترتیب آنها را در محدوده خاصی از تغییرات بررسی کند (Elsanhoty et al., 2012; Plackett & Burman, 1946). مطابق جدول ۱، بر اساس طرح PBD، ۱۱ عامل مغزی (کلرید کلسیم دو آبه، فسفات دی پتاسیم، عصاره مخمر، کلرید آهن، کلرید سدیم، کلرید منگنز (II)، گلوکز، فسفات منو پتاسیم، تربیتون 100-X، سولفات منیزیم هفت آبه و سولفات روی) هر کدام در ۲ سطح در نظر گرفته شد. بر این اساس تعداد ۱۲ آزمایش برای غربالگری شناسایی متغیرهای مستقل موثر بر راندمان تولید صمغ کردلان انجام گرفت. همه آزمایشات ۳ مرتبه انجام شد و مقدار متوسط مشاهدات در جدول ۲ آورده شد.

- طرح مرکب مرکزی^۷ (CCD)

در این تحقیق پس از استفاده از PBD برای شناسایی و غربال متغیرهای موثر، از روش سطح پاسخ (RSM) با استفاده از طرح مرکب مرکزی بمنظور ارزیابی کمی و کیفی تاثیر متغیرهای موثر بر متغیر وابسته (راندمان تولید کردلان) استفاده شد. طرح مرکب مرکزی یکی از معروفترین روشهای طراحی آزمایشات برای بهینه سازی و

- طیف سنجی تبدیل فوریه مادون قرمز^۱ (FT-IR)
این آزمون بوسیله دستگاه طیف سنج (Shimadzu spectrometer 8400, Japan) با رزولوشن 4 cm^{-1} در بازه $4000-500\text{ cm}^{-1}$ با در اختیار گرفتن دیسکهای برومید پتاسیم (KBr) مطابق استاندارد (ASTM E1252-) (07) انجام شد.

- رزونانس مغناطیسی هسته‌ای کربن^۲ (C-NMR)
این آزمون بوسیله دستگاه BRUKER Ultrashield 400 Mhz بر روی نمونه‌های کردلان حل شده در حلال دی متیل سولفوکسید (DMSO) انجام گرفت.

- آزمون پراش اشعه x^۳ (XRD)

آزمون پراش اشعه x توسط دستگاه (Philips X'pert) انجام گرفت. برای انجام آزمون، ژنراتور تولید اشعه x در 40 kV و 40 mA تنظیم شد. ابتدا نمونه‌های کردلان را بصورت پودر در آمد و سپس در معرض اشعه x با طول موج ($\lambda=1/154.05\text{ \AA}$) قرار گرفت. تشعشعات بازتابشی از نمونه، در دمای محیط و در محدوده ($2\theta=1/5-55$) جمع آوری شد و نمودار مربوط به شدت بازتابش آنها ترسیم شد.

- گرماسنج پویشی تفاضلی^۴ (DSC)

بمنظور مقایسه خصوصیات حرارتی نمونه‌های کردلان، ۵ میلی گرم از هر نمونه در دمای 60°C بمدت یک ساعت خشک شدند و پس از توزین دقیق داخل pan آلومینیومی دستگاه DSC قرار گرفته و پرچ گردید. نمونه‌های در محدوده دمایی 30°C تا 300°C با جریان ۲۰ میلی لیتر بر دقیقه و سرعت گرمایش 10°C بر دقیقه قرار داده شدند و رفتار حرارتی آنها ترسیم شد.

- کروماتوگرافی ژل تراوایی^۵ (GPC)

بمنظور تعیین تعداد متوسط وزن مولکولی (\bar{M}_W) نمونه کردلان تولید شده در این تحقیق از دستگاه - GPC Waters 2410 مجهز به دکتور مادون قرمز بدین شرح

¹ Fourier Transform Infrared Spectroscopy

³ X-ray Diffractometry

⁵ Gel Permeation Chromatography

² C - Nuclear Magnetic Resonance

⁴ Differential Scanning Calorimeter

⁶ Plackett-Burman ⁷ Central Composite Design

جدول ۱ - متغیرها و سطوح آنها در طرح آزمایشات PBD

متغیر	عوامل	سطح بالا (+)	سطح پایین (-)
۱	کلرید کلسیم دو آبه	۱	۳
۲	فسفات دی پتاسیم	۱	۳
۳	عصاره مخمر	۱/۵	۲/۵
۴	کلرید آهن	۱	۳
۵	کلرید سدیم	۳	۵
۶	کلرید منگنز (II)	۱/۵	۲/۵
۷	گلوکز	۵۰	۱۰۰
۸	فسفات منو پتاسیم	۲	۴
۹	تریتون X-۱۰۰	۲	۴
۱۰	سولفات منیزیم هفت آبه	۳	۵
۱۱	سولفات روی	۱	۳

جدول ۲ - سطوح متغیرها برای غربالگری با طرح PBD

آزمایش	۱	۲	۳	۴	۵	۶	۷	۸	۹	۱۰	۱۱	۱۲
کلرید کلسیم دو آبه	-۱	۱	۱	۱	-۱	۱	-۱	-۱	۱	-۱	-۱	۱
فسفات دی پتاسیم	-۱	۱	۱	۱	-۱	-۱	۱	-۱	-۱	۱	۱	-۱
عصاره مخمر	۱	-۱	-۱	۱	-۱	۱	۱	-۱	۱	-۱	۱	-۱
کلرید آهن	-۱	-۱	۱	-۱	-۱	۱	-۱	۱	۱	۱	۱	-۱
کلرید سدیم	۱	-۱	۱	-۱	-۱	۱	۱	-۱	-۱	۱	-۱	۱
کلرید منگنز (II)	۱	۱	۱	-۱	-۱	-۱	۱	۱	۱	-۱	-۱	-۱
گلوکز	-۱	-۱	-۱	۱	-۱	-۱	۱	۱	۱	۱	-۱	۱
فسفات منو پتاسیم	۱	۱	-۱	-۱	-۱	-۱	-۱	-۱	۱	۱	۱	۱
تریتون X-۱۰۰	۱	-۱	۱	۱	-۱	-۱	-۱	-۱	۱	-۱	۱	۱
سولفات منیزیم هفت آبه	۱	۱	-۱	۱	-۱	۱	-۱	۱	-۱	۱	-۱	-۱
سولفات روی	-۱	۱	-۱	-۱	-۱	۱	۱	۱	-۱	-۱	۱	۱
تولید کردلان [گرم بر لیتر]	۲/۴۵	۰/۳۴	۱/۱۱	۳/۶۷	۱/۵	۱/۴۵	۲/۵۵	۲/۳۹	۲/۷۵	۲/۰۵	۲/۱۷	۲/۵۹

که در این معادله؛ x_i : مقدار کد شده، X_i : مقدار حقیقی، X_0 : مقدار حقیقی همان متغیر در نقطه مرکزی و ΔZ : تغییر گام در مقدار متغیر است. داده‌های حاصل از آزمایشات با معادله (۲) که معادله برآزش چند جمله ای درجه ۲ است، مطابقت داده شد:

$$Y = \beta_0 + \sum \beta_i X_i + \sum \beta_{ii} X_i^2 + \sum \beta_{ij} X_i X_j \quad (2)$$

که در این معادله Y : پاسخ پیش بینی شده، β_0 : عرض از مبدا، β_i : ضریب خطی، β_{ii} : ضریب درجه ۲، β_{ij} : ضریب بر هم کنش (تعاملی) و X_i و X_j متغیرهای مستقل هستند.

مدلسازی است. مزیت آن نسبت به روش‌های فاکتوریل کامل و ناقص، این است بمنظور بهینه‌سازی عوامل و تخمین سطوح پاسخ، با وجود داشتن دقت مناسب نیازمند تعداد آزمایشات کمتری است (Box & Wilson, 1992; Box & Hunter, 1957; Özer & Güçer, 2011).

طراحی آزمایشات به روش سطح پاسخ بوسیله طرح مرکب مرکزی برای ۳ متغیر وابسته موثر هر کدام در ۵ سطح کد شده ($+\alpha$ ، $+1$ ، 0 ، -1 و $-\alpha$) در جدول ۳ آورده شده است. رابطه بین متغیرهای مستقل کد شده و مقادیر حقیقی آنها در معادله (۱) آمده است:

$$x_i = \frac{X_i - X_0}{\Delta X_i} \quad (1)$$

تجزیه و تحلیل آماری

نرم افزار آماری Minitab 16 بمنظور برآزش^۱ داده های آزمایشات، ترسیم نمودارهای سطح پاسخ و آنالیز واریانس (ANOVA) پارامترهای آماری تولید صمغ کردلان استفاده شد. همچنین بمنظور ارزیابی صحت برآزش و دقت پیش بینی مدل ارائه شده با روش پاسخ سطح از ۲ پارامتر آماری: ضریب تعیین^۲ (R²) و ضریب تعیین اصلاح شده^۳ استفاده شد. همچنین، کلیه آزمون های آماری در سطح معنی P ≤ ۰/۰۵ (احتمال ۹۵٪) انجام شد.

استفاده شد. همه آزمایشات ۳ بار انجام گرفت و مقدار متوسط نتایج در جدول ۴ گزارش شد.

جدول ۳ - متغیرها و سطوح آنها برای طرح مرکب مرکزی

متغیر [گرم بر لیتر]	سطح کد شده متغیر				
	+α	+۱	۰	-۱	-α
X _۳ : عصاره مخمر	۰/۸۲	۱/۵	۲/۵	۳/۵	۴/۱۸
X _۷ : گلوکز	۵۷/۹۶	۷۵	۱۰۰	۱۲۵	۱۴۲/۰۴
X _۹ : تریتون ۱۰۰-X	۱/۳۲	۲	۳	۴	۴/۶۸

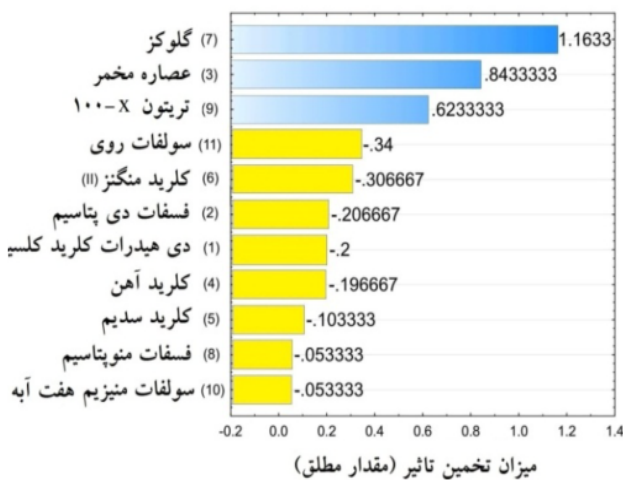
یافته ها

یافته های حاصل از غربالگری عوامل موثر بر تولید کردلان

طرح PBD بمنظور یافتن عوامل مغذی موثر در تولید صمغ کردلان از میان ۱۱ متغیر با ۱۲ آزمایش انجام گرفت و نتایج حاصل با استفاده از Pareto Chart ارزیابی گردید و در شکل ۱ آورده شد. مطابق این شکل، فقط ۳ متغیر مستقل دارای تاثیر موثر بر تولید صمغ کردلان بودند که به ترتیب میزان اهمیت: گلوکز، عصاره مخمر و تریتون X-۱۰۰ می باشد.

همچنین در این تحقیق بمنظور ارزیابی نحوه تاثیر و تعامل ۳ متغیر مستقل موثر از طرح مرکب مرکزی با ۲۰ آزمایش که از این تعداد، ۶ آزمایش در نقطه مرکزی بود،

مقدار تولید کردلان [گرم بر لیتر]



شکل ۱- بررسی میزان تاثیر ۱۱ متغیر مستقل بر راندمان تولید صمغ کردلان

جدول ۴ - مقادیر تولید صمغ کردلان (تجربی - پیش بینی شده) و وزن توده سلولی حاصل از طرح مرکب مرکزی

آزمایش	متغیرهای مستقل در سطوح کد شده			وزن توده سلولی
	X _۳ : عصاره مخمر	X _۷ : گلوکز	X _۹ : تریتون ۱۰۰-X	
۱	۰	۰	۰	۷/۱۱
۲	-۱	۱	-۱	۶/۹۰
۳	۰	۰	۰	۷/۲۰
۴	۰	۰	-۱/۶۸	۵/۵۰
۵	-۱	۱	۱	۶/۲۰
۶	۰	۰	۰	۷/۳۱
۷	۰	۰	۰	۷/۱۰
۸	۰	۰	۰	۷/۰۷
۹	۱	-۱	-۱	۶/۲۰
۱۰	۰	۰	۱/۶۸	۶/۵۰
۱۱	۱	-۱	۱	۶/۶۰

¹ Regression

² Determination Coefficient

³ Adjusted Determination Coefficient

ادامه جدول ۴

آزمایش	متغیرهای مستقل در سطوح کد شده			وزن توده سلولی	مقدار تولید کردلان [گرم بر لیتر]	
	X _۳ : عصاره مخمر	X _۷ : گلوکز	X _۹ : نریتون ۱۰۰-x		مقدار تجربی	مقدار پیش بینی
۱۲	۱	۱	-۱	۶	۳/۸۳	۴/۰۳۱
۱۳	۱/۶۸	۰	۰	۶/۵۰	۱/۸۶	۲/۱۲۴
۱۴	-۱/۶۸	۰	۰	۵/۹۰	۲/۸۹	۳/۲۰۶
۱۵	-۱	-۱	۱	۵/۸۰	۴/۲۵	۴/۰۸۰
۱۶	۱	۱	۱	۷/۱۰	۱/۵	۱/۳۱۱
۱۷	-۱	-۱	-۱	۴/۸۰	۱/۳۸	۱/۶۰۰
۱۸	۰	۱/۶۸	۰	۶/۵۰	۲/۴	۲/۷۳۹
۱۹	۰	-۱/۶۸	۰	۴/۱۰	۱/۷	۱/۹۴۱
۲۰	۰	۰	۰	۷/۱۵	۴/۳۱	۴/۳۷۹

خوب بین نتایج بدست آمده با روش تجربی و مقادیر پیش بینی شده با روش آماری است. همچنین از این مدل برای ارزیابی میزان تاثیرات خطی، تعاملی و درجه ۲ متغیرهای مستقل بر متغیر وابسته استفاده شد.

جدول ۵- آنالیز آماری برای انتخاب مدل برازش شده بر داده های آزمایشات

نوع مدل	انحراف معیار	ضریب تعیین (R ²)	R ² اصلاح ارزش P برای
خطی	۱/۴۰	۰/۰۶	۰/۰۹ > ۰/۰۰۱
۲ فاکتوریل	۱/۳۲	۰/۳۴	۰/۳۲ > ۰/۰۰۱
درجه ۲	۰/۳۳	۰/۹۷	۰/۹۴ > ۰/۰۵۶۷
درجه ۳	۰/۲۹	۰/۹۵	۰/۹۵ > ۰/۰۳۳۸

- شناسایی و تعیین خواص صمغ کردلان:

طیف های حاصل از آزمون FT-IR برای نمونه کردلان تولید شده در این تحقیق و نمونه تجاری، نظیر یکدیگر بودند. همانطور که در شکل ۲ مشاهده می شود، طیف FT-IR نشان دهنده پیک های جذبی: در ناحیه ۳۴۲۸/۸۸ cm⁻¹ مربوط به حضور گروه (OH-)، گروه (-CH₂-) در ناحیه ۲۹۱۵/۵۰ cm⁻¹ و گروه (C=O) در ناحیه ۱۱۳۹/۵۲ cm⁻¹ می باشد. حضور پیک در ناحیه ۸۸۵/۷۷ cm⁻¹ حاکی از وجود شکل فضایی β^۲ می باشد و همچنین بعلت اینکه هیچ پیک جذبی در ناحیه ۸۴۰ cm⁻¹ مشاهده نشده است بنابراین حالت فضایی α در محصول پلیمری تایید نمی گردد. طیف مشابه در این تحقیق برای کردلان قبلاً

- گزینش مدل مناسب برای برازش داده ها با روش سطح پاسخ:

بمنظور تعیین مدل تجربی برای پیش بینی پاسخ (تولید کردلان)، معادلات چند جمله ای شامل خطی، دو فاکتوریل (تعاملی)، درجه ۲ و درجه ۳ بر داده های بدست آمده از روش سطح پاسخ برازش شدند. سپس این مدل ها مورد آنالیز آماری قرار گرفتند. لازم بذکر است که از نظر آماری مدلی مناسب است که آزمون ضعف برازش^۱ آن معنی دار نبوده و دارای بالاترین مقدار R² و R² اصلاح شده باشد.

همانطور که در جدول ۵ مشاهده می شود، آزمون ضعف برازش مربوط به مدل چند جمله ای درجه ۲ برازش یافته بر داده های پاسخ سطح، معنی دار نیست که بیانگر برازش موفق داده ها می باشد. همچنین با توجه به مقادیر R² و R² اصلاح شده که بترتیب ۰/۹۷ و ۰/۹۴ می باشند، مدل چند جمله ای درجه ۲ انتخاب شد. با بکارگیری روش سطح پاسخ، معادله (۳) که نشان دهنده ی ارتباط تجربی میان مقدار تولید کردلان و ۳ متغیر مستقل موثر (بر اساس مقادیر حقیقی) بدست آمد.

$$[g/l] = 4.46 - 0.36 X_3 + 0.28 X_7 - 0.92 X_9 - 0.46 X_3 X_7 - 0.53 X_3 X_9 - 0.76 X_7 X_9 - 0.68 X_3^2 - 0.79 X_7^2 - 0.84 X_9^2 \quad (3)$$

راندمان تولید کردلان حاصل از آزمایشات تجربی و پیش بینی شده از طریق روش سطح پاسخ در جدول ۴ آورده شده است. مشاهدات این جدول، بیانگر همبستگی بسیار

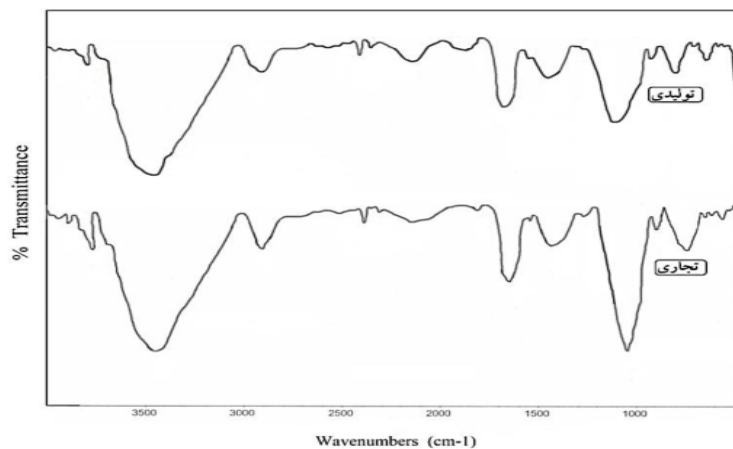
¹ Lack of fit² Configuration

مطابق شکل ۵، مشاهده می شود که منحنی های ترموگرام (گرمانگاشت) حاصل از آنالیز حرارتی کالریمتری (DSC) برای نمونه های کردلان تولیدی و تجاری دارای رویه ای مشابه یکدیگرند. ترموگرام DSC برای کردلان تولید شده در این تحقیق دارای ۲ ناپایداری حرارتی گرماگیر در $74/8^{\circ}$ و 251° بترتیب دارای مقدار آنتالپی $157/17$ و $87/88$ J/g می باشد.

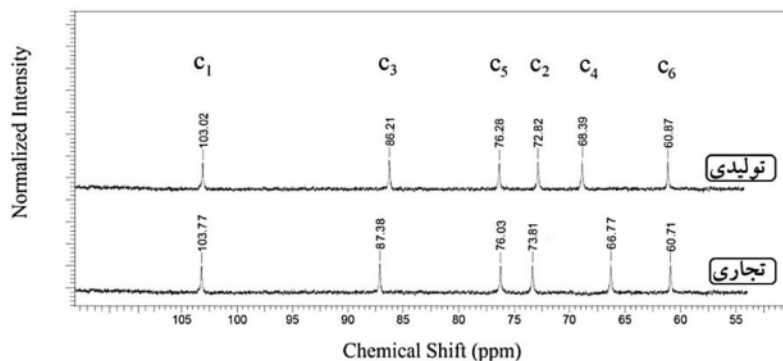
در این تحقیق، تعداد متوسط وزن مولکولی نمونه کردلان تولید شده از *Paenibacillus polymyxa* با استفاده از کروماتوگرافی ژل تراوایی $10^6 \times 10^4$ Da تعیین شد. در تحقیقات گذشته، وزن کردلان $5/3 \times 10^4$ تا $10^6 \times 10^4$ Da گزارش شده است (Jin et al., 2006; Nakata et al., 1998). اخیراً، وزن مولکولی کردلان تولید شده از سویه جهش یافته *Agrobacterium* sp. ATCC 31750 حدود $10^5 \times 10^4$ Da گزارش شده است (Kim et al., 2003).

گزارش شده است (Zhang et al., 2001). مطابق شکل ۳، طیف ^{13}C NMR برای نمونه های کردلان تولید شده و نمونه تجاری، دارای جهش های شیمیایی برابر می باشد. طیف ^{13}C NMR دارای ۶ رزونانس اصلی در $103/78$ ، $74/12$ ، $78/32$ ، $68/88$ ، $76/92$ و $60/91$ ppm است که بترتیب مربوط به C-۱، C-۲، C-۳، C-۴، C-۵ و C-۶ می باشد و تایید کننده ساختمان β -(۱-۳) دی گلوکان در صمغ کردلان تولید شده در این تحقیق است. لازم بذکر است که طیف ^{13}C NMR مشابه در این تحقیق برای کردلان قبلاً گزارش شده است (Saitô et al., 1979; Zhang et al., 2001).

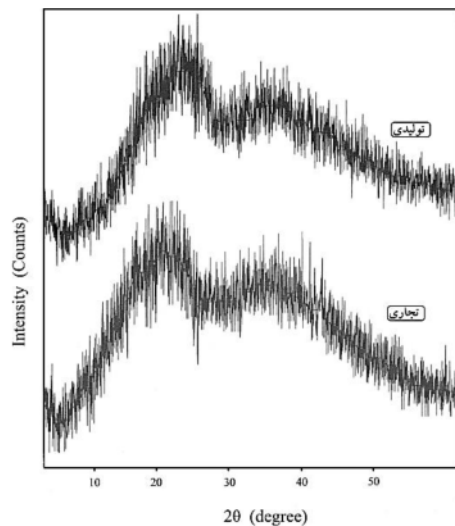
منحنی های پراش اشعه x (دیفرآکتوگرامها) که نشان دهنده فاصله بین لایه های کریستالی ماده مورد آنالیز می باشد برای نمونه های کردلان تولید شده و تجاری دارای الگوی مشابه است و در شکل ۴ آمده است. پیک های پراش در کردلان تولید شده دارای مقدار 2θ به ترتیب در زوایه های ($6/76^{\circ}$ ، $11/34^{\circ}$ ، $21/68^{\circ}$ ، $22/35^{\circ}$ و $32/8^{\circ}$) می باشند.



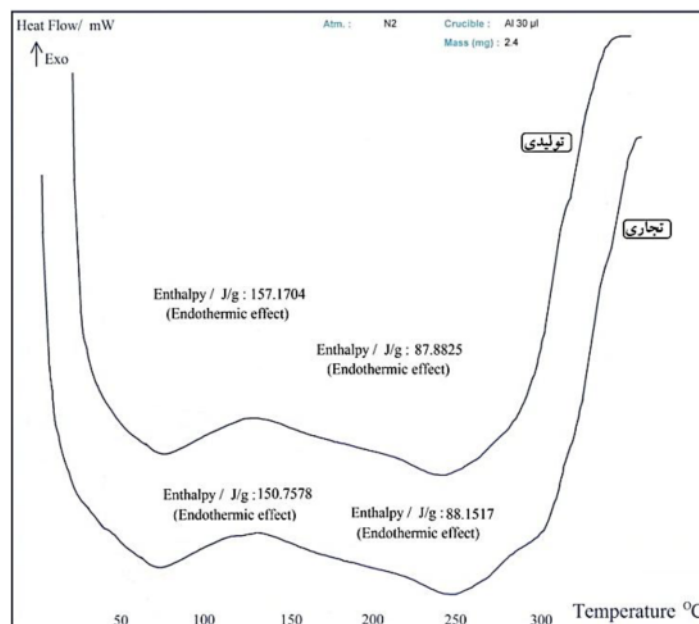
شکل ۲- آزمون FT-IR نمونه کردلان



شکل ۳- آزمون ^{13}C -NMR نمونه کردلان



شکل ۴- آزمون XRD نمونه کردلان



شکل ۵- آزمون DSC نمونه کردلان

بحث

نحوه تاثیر مستقیم هر ۳ عامل مغذی (عصاره مخمر، گلوکز و تریتون X-۱۰۰) بر میزان تولید کردلان و جرم توده سلولی در شکل ۶ آورده شده است. گلوکز بعنوان منبع کربنی در محیط کشت است و همانطور که در شکل ۱ مشاهده شد، اصلی ترین عامل مغذی در تولید صمغ کردلان است و بعد از آن بترتیب اهمیت، عصاره مخمر و تریتون X-۱۰۰ قرار دارند. هنگامی که غلظت گلوکز از ۵۷/۹۶ تا ۷۵ g/l افزایش می یابد، جرم توده سلولی نیز افزایش می یابد که نشان دهنده شروع رشد سلولی است و در نتیجه

مقدار تولید کردلان زیاد می شود و در ادامه، افزایش غلظت گلوکز از ۷۵ تا ۱۰۰ g/l منجر به افزایش بسیار زیاد هم در وزن توده سلولی (رشد سلول) و همچنین در تولید کردلان می شود. اما افزایش غلظت گلوکز بیش از ۱۰۰ g/l، تغییری در مقدار تولید کردلان حاصل نمی شود که بعلت ثابت بودن میزان مصرف قند گلوکز از طرف سلول و ثابت بودن رشد سلول میکروبی است. بنابراین غلظت بهینه گلوکز در محیط تخمیر تولید کردلان برابر با ۱۰۰ g/l بدست آمد. همچنین، هنگامی که میزان غلظت عصاره مخمر بعنوان منبع نیتروژنی در محیط کشت از ۰/۸۲ تا ۲/۵

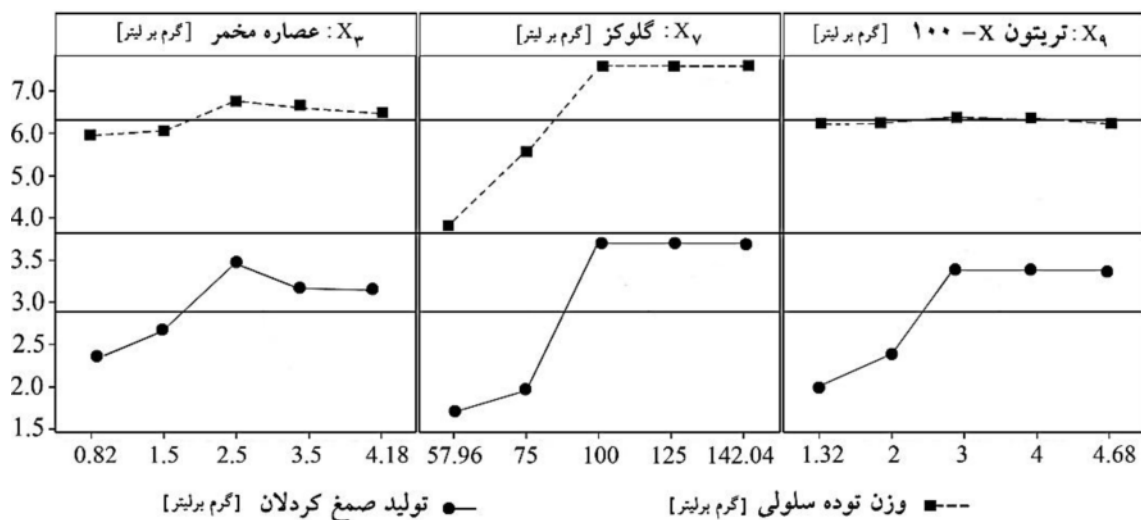
دولایه لیپیدی سلول می شود و در حقیقت میزان تراوش کردلان را افزایش می دهد. همچنین وجود تریتون X-100 در محیط کشت باعث افزایش همگن شدن برات و انتقال آسان تر مواد مغذی به سلول می گردد. اما با افزودن مقدار اضافی تریتون X-100 به محیط کشت نمی توان کشت سطحی برات تخمیر را کاهش داد و میزان نفوذپذیری غشاء سلولی و تولید کردلان تغییر نمی کند. بعلاوه، جرم توده سلولی با افزایش غلظت تریتون X-100 در محیط کشت تغییری نداشت و بیانگر این است که تریتون X-100 بعنوان یک عامل رشد مغذی برای *Paenibacillus polymyxa* PTCC 1020 نیست و غلظت بهینه تریتون X-100 برای تولید کردلان برابر با 3 g/l بدست آمد.

مطابق جدول 6 اگر چه تریتون X-100 بر خلاف گلوکز و عصاره مخمر دارای تاثیر خطی معنی دار نیست اما همانطور که مشاهده می شود، دارای تاثیرات تعاملی معنی دار با گلوکز و عصاره مخمر است. بطور کلی تمامی اثرات تعاملی (عصاره مخمر-گلوکز، عصاره مخمر-تریتون X-100 و گلوکز-تریتون X-100) بر راندمان تولید کردلان معنی دار بوده است و می توان آنها را در شکل 7 در قالب نمودارهای سه بعدی پاسخ سطح¹ و نمودار کنتور² مشاهده کرد. همچنین تمامی اثرات درجه 2 هر 3 متغیر بر راندمان تولید کردلان معنی دار بود.

افزایش می یابد مقدار تولید کردلان و جرم توده سلولی نیز افزایش می یابد اما در ادامه، با افزایش در غلظت عصاره مخمر، مقدار تولید کردلان کاهش می یابد. علت این نیز توسط تعدادی از محققین اینچنین گزارش شده است که، افزودن مقدار اضافی عصاره مخمر به محیط کشت فقط در حین فاز رشد سلول می تواند بر تولید محصول نهایی موثر باشد که بدلیل وجود فاکتورهای رشد در عصاره مخمر است. عصاره مخمر مخلوطی شامل اسیدهای آمینه، پپتیدها، پروتئین ها و سرشار از ویتامین B و نمک های معدنی مفید است (Sharmila et al., 1989; Shen et al., 1993). همچنین افزایش زیاد غلظت عصاره مخمر (منبع نیتروژنی) سبب انتقال مقداری از کلوگز (منبع کربنی و اصلی ترین عامل مغذی) به خارج سلول می گردد (Phillips et al., 1983; Jiang, 2013) و در نهایت سبب کاهش تولید صمغ کردلان می شود. بدین ترتیب غلظت بهینه عصاره مخمر در محیط تخمیر تولید کردلان برابر با 2/5 g/l بدست آمد.

همچنین با افزایش تریتون X-100 در محیط کشت از 1/33 تا 3 g/l، مقدار تولید کردلان افزایش می یابد اما در ادامه، افزایش غلظت تریتون X-100 در محیط تخمیر تاثیری ایجاد نمی کند. تریتون X-100 یک ماده فعال سطحی خوب است که باعث افزایش نفوذپذیری غشاء

۲۲



شکل 6- بررسی میزان تاثیر مستقیم متغیرهای موثر بر میزان تولید صمغ کردلان و وزن توده سلولی

¹ 3D-Response Surface Plot

² Contour Plot

جدول ۶ - نتایج آنالیز آماری مدل درجه ۲ برازش یافته بر داده های پاسخ

ارزش P احتمال > F	ارزش F	متوسط مربعات	درجه آزادی	مجموع مربعات	منبع تغییرات
> 0.0001	34/48	3/69	9	32/2	مدل
					تأثیر خطی
0.0023	16/51	1/77	1	1/77	X ₃ - عصاره مخمر
0.0111	9/66	1/03	1	1/03	X ₇ - گلوکز
0.3243	1/07	0/11	1	0/11	X ₉ - تریتون 100-X
					تأثیر تعاملی
0.0026	15/82	1/69	1	1/69	X ₇ - X ₃
0.0009	21/40	2/29	1	2/29	X ₉ - X ₃
> 0.0001	43/76	4/68	1	4/68	X ₉ - X ₇
					تأثیر درجه ۲
> 0.0001	61/61	6/59	1	6/59	(X ₃) ²
> 0.0001	84/33	9/02	1	9/02	(X ₇) ²
> 0.0001	95/61	10/23	1	10/23	(X ₉) ²
		0/11	10	1/07	باقیمانده
0.0567	4/73	0/18	5	0/88	عدم برازش
		0/37	5	0/19	خطای خالص
ضریب تعیین (R ²) = 0.97: ضریب تعیین اصلاح شده (Adjusted-R ²) = 0.94					

نهایت بعد از مرگ سلول، تولید کردلان نیز کاهش می‌یابد. غلظت صمغ کردلان همچون رشد سلولی در ۹۰ ساعت به حداکثر خود رسیده و بعد از ۱۲۰ ساعت، تولید کردلان کاهش یافت. این کاهش تولید احتمالاً در نتیجه مرگ سلول *Paenibacillus polymyxa* PTCC 1020 می‌باشد. همچنین بعد از گذشت ۱۲۰ ساعت از شروع فرآیند تخمیر، غلظت مصرف گلوکز در برات بسیار کم می‌شود. در نتیجه، بنظر می‌رسد که تولید صمغ کردلان، فرآیندی وابسته به رشد^۳ می‌باشد.

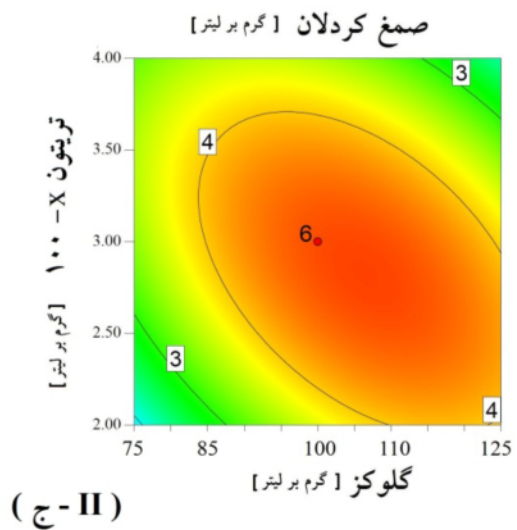
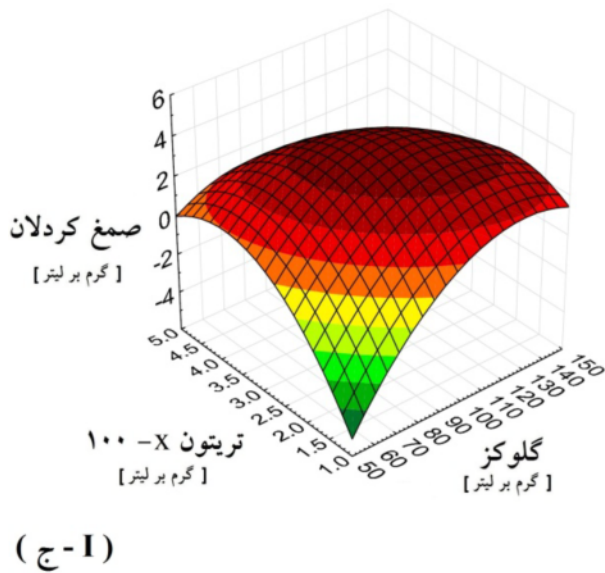
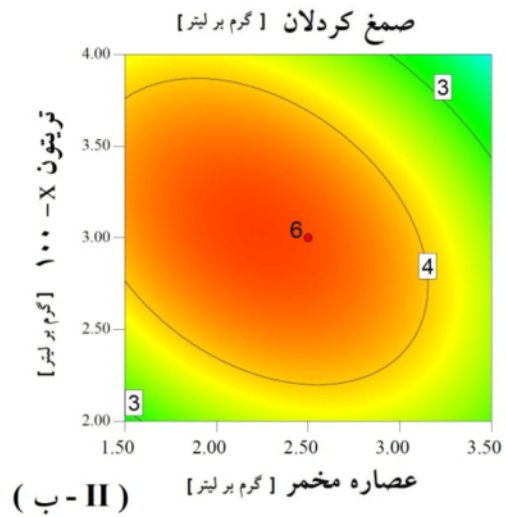
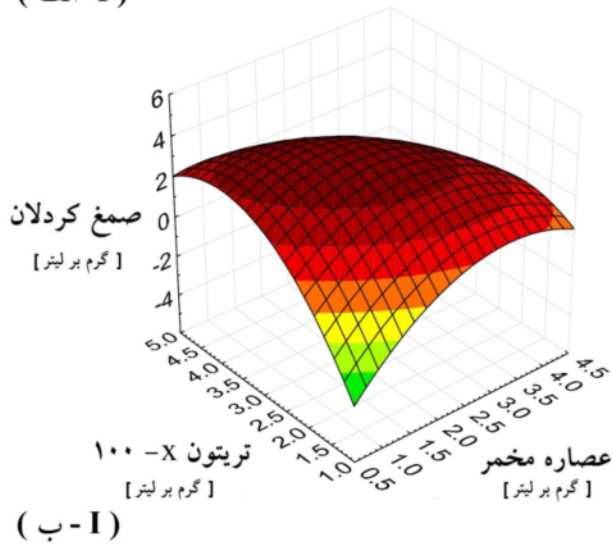
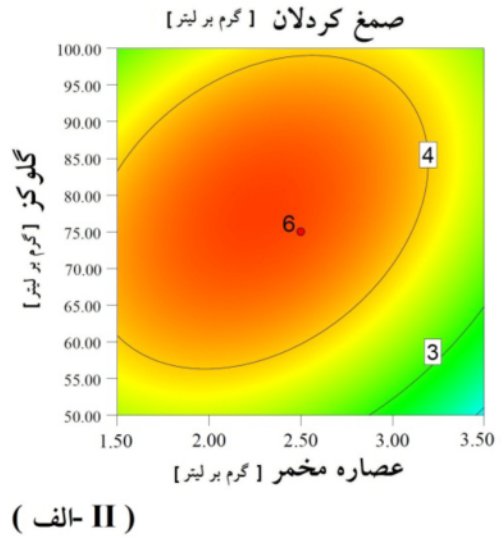
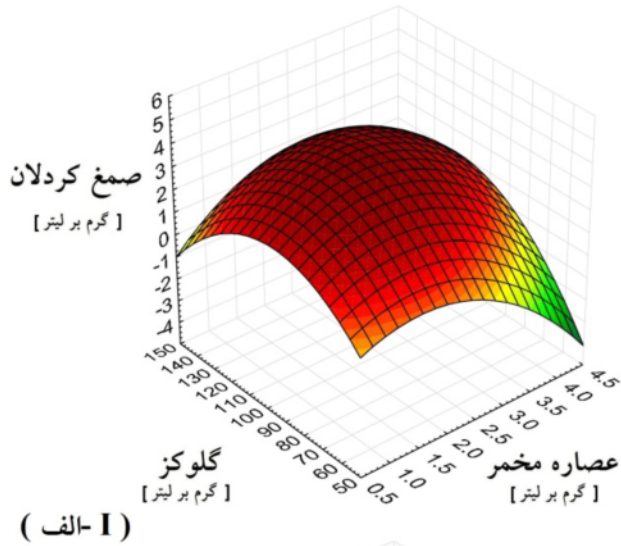
همچنین، تولید کردلان از *Agrobacterium sp.* با نرخ رشد ویژه (μ) برابر با 0.09 h^{-1} گزارش شده است در حالیکه در این تحقیق نرخ رشد ویژه برابر با 0.14 h^{-1} می‌باشد که نسبت به تحقیقات گذشته حدود ۱/۵ برابر بیشتر است (Ben Salah et al., 2011).

همچنین در این تحقیق، حداکثر مقدار تولید کردلان برابر با $4/75 \text{ g/l}$ بود که از آزمایش شماره ۷ بوسیله شرایط بهینه (عصاره مخمر: $2/5 \text{ g/l}$ ، گلوکز: 100 g/l ، تریتون 100-X : 3 g/l) حاصل شده است. در تحقیقات گذشته، میزان تولید کردلان از *Agrobacterium sp.* در حدود 4 g/l از *Bacillus sp.* SNC 107 در حدود 7 g/l و از *Pseudomonas sp.* در حدود $2/35 \text{ g/l}$ بوده است (Gummadi & Kumar, 2005; Cui & Qiu, 2012) (Saudagar & Singhal, 2004).

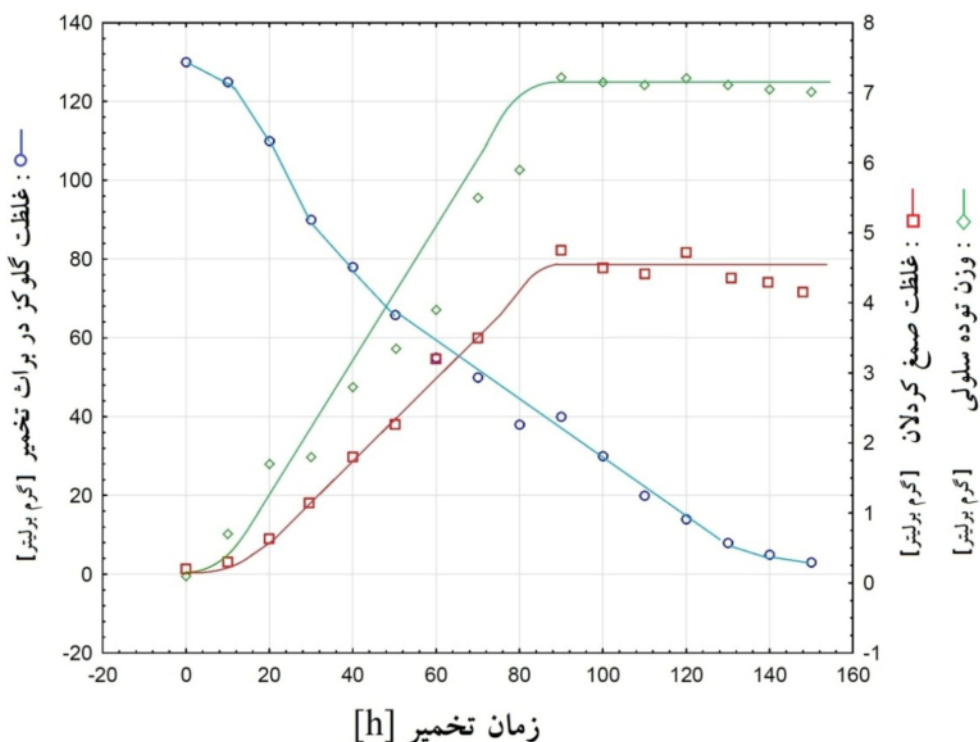
- آنالیز کینتیک رشد میکروبی در فرآیند تولید صمغ کردلان

مطابق شکل ۸، تشکیل صمغ کردلان بطور همزمان با شروع رشد سلولی در فرآیند تخمیر ناپیوسته تحت شرایط بهینه مشاهده می‌شود. میزان تولید کردلان با سرعت طی فاز نمایی^۱ رشد سلول افزایش می‌یابد و سپس تولید صمغ کردلان به آرامی در فاز سکون^۲ رشد سلول ادامه یافته و در

¹ Exponential Phase² Stationary Phase³ Growth - Associated



شکل ۷- تاثیر تعاملی متغیرهای موثر گلوکز، عصاره مخمر و تریتون X-۱۰۰ با استفاده از نمودارهای سطح پاسخ سه بعدی (I) - کنتور (II)



شکل ۸- منحنی کینتیکی رشد میکروبی، تولید صمغ کردلان و غلظت گلوکز مصرف شده در برات تخمیر

heterogeneity of the genus *Bacillus* revealed by comparative analysis of small-subunit-ribosomal RNA sequences. Letters in Applied Microbiology, 13, 202-206.

Bajaj, I. B., Saudagar, P. S., Singhal, R. S. & Pandey, A. (2006). Statistical approach to optimization of fermentative production of gellan gum from *Sphingomonas paucimobilis* ATCC 31461. Journal of Bioscience and Bioengineering, 102, 150-156.

Banik, R. M., Santhiagu, A. & Upadhyay, S. N. (2007). Optimization of nutrients for gellan gum production by *Sphingomonas paucimobilis* ATCC-31461 in molasses based medium using response surface methodology. Bioresource Technology, 98, 792-797.

Ben Salah, R., Chaari, K., Besbes, S., Ktari, N., Blecker, C., Deroanne, C. & Attia, H. (2010). Optimisation of xanthan gum production by palm date (*Phoenix dactylifera* L.) juice by-products using response surface methodology. Food Chemistry, 121, 627-633.

Ben Salah, R., Jaouadi, B., Bouaziz, A., Chaari, K., Blecker, C., Derrouane, C., Attia, H. & Besbes, S. (2011). Fermentation of date palm juice by curdlan gum production from *Rhizobium radiobacter* ATCC 6466TM:

نتیجه گیری

نتایج این تحقیق نشان می‌دهد که سویه *Paenibacillus polymyxa* PTCC 1020 توانایی تولید صمغ کردلان را دارد. حداکثر مقدار تولید کردلان ۴/۷۵ g/l بود که از آزمایش بروش پاسخ سطح بوسیله شرایط بهینه (عصاره مخمر: ۲/۵ g/l، گلوکز: ۱۰۰ g/l، تریتون x-۱۰۰: ۳ g/l) حاصل شد. در این تحقیق نرخ رشد ویژه (μ) برابر با 0.14 h^{-1} برای تولید کردلان می‌باشد که نسبت به تحقیقات گذشته حدود ۱/۵ برابر بیشتر است.

منابع

Alban, S. & Franz, G. (2000). Characterization of the Anticoagulant Actions of a Semisynthetic Curdlan Sulfate. Thrombosis Research, 99, 377-388.

Aoki, T., Kaneko, Y., Stefanski, M. S., Nguyen, T. & Ting, R. C. (1991). Curdlan sulfate and HIV-1. I. In vitro inhibitory effects of curdlan sulfate on HIV-1 infection. AIDS Research Human Retroviruses, 7, 409-15.

Ash, C., Farrow, J. A. E., Wallbanks, S. & Collins, M. D. (1991). Phylogenetic

Purification, rheological and physico-chemical characterization. *LWT - Food Science and Technology*, 44, 1026-1034.

Bent, E., Breuil, C., Enebak, S. & Chanway, C. (2002). Surface colonization of lodgepole pine roots by *Pseudomonas fluorescens* and *Paenibacillus polymyxa* under gnotobiotic conditions. *Plant and Soil*, 241, 187-196.

Box, G. E. P. & Hunter, J. S. (1957). Multi-Factor Experimental Designs for Exploring Response Surfaces. 195-241.

Box, G. E. P. & Wilson, K. B. (1992) On the Experimental Attainment of Optimum Conditions. In: KOTZ, S. & JOHNSON, N. (eds.) *Breakthroughs in Statistics*. Springer New York.

Chauhan, K., Trivedi, U. & Patel, K. C. (2007). Statistical screening of medium components by Plackett–Burman design for lactic acid production by *Lactobacillus* sp. KCP01 using date juice. *Bioresource Technology*, 98, 98-103.

Chen, J., Wu, S. & Pan, S. (2012). Optimization of medium for pullulan production using a novel strain of *Auerobasidium pullulans* isolated from sea mud through response surface methodology. *Carbohydrate Polymers*, 87, 771-774.

Cui, J.-D. & Qiu, J. Q. (2012). Production of Extracellular Water-Insoluble Polysaccharide from *Pseudomonas* sp. *Journal of Agricultural and Food Chemistry*, 60, 4865-4871.

Daramola, M. O., Keesman, K. J. & F. Spenklink (2007). Process Modelling of Ultrafiltration Units: An RSM Approach. *Journal of Applied Sciences*, 7, 3687-3695.

Dubois, M., Gilles, K. A., Hamilton, J. K., Rebers, P. A. & Smith, F. (1956). Colorimetric Method for Determination of Sugars and Related Substances. *Analytical Chemistry*, 28, 350-356.

Elsanhoty, R. M., Al-Turki, I. A. & Ramadan, M. F. (2012). Screening of medium components by Plackett–Burman design for carotenoid production using date (*Phoenix dactylifera*) wastes. *Industrial Crops and Products*, 36, 313-320.

Funami, T. & Nishinari, K. (2007). Gelling characteristics of curdlan aqueous dispersions in the presence of salts. *Food Hydrocolloids*, 21, 59-65.

Funami, T., Yada, H & Nakao, Y. (1998). Curdlan Properties for Application in Fat

Mimetics for Meat Products. *Journal of Food Science*, 63, 283-287.

Gao, Y., Katsuraya, K., Kaneko, Y., Mimura, T., Nakashima, H. & Uryu, T. (1999). Synthesis, Enzymatic Hydrolysis, and Anti-HIV Activity of AZT–Spacer–Curdlan Sulfates. *Macromolecules*, 32, 8319-8324.

Gummadi, S. & Kumar, K. (2005). Production of extracellular water insoluble β -1,3-glucan (curdlan) from *Bacillus* sp. SNC07. *Biotechnology and Bioprocess Engineering*, 10, 546-551.

Hamsaveni, D. R., Prapulla, S. G. & Divakar, S. (2001). Response surface methodological approach for the synthesis of isobutyl isobutyrate. *Process Biochemistry*, 36, 1103-1109.

Harada, T. (1977) Production, Properties, and Application of Curdlan. *Extracellular Microbial Polysaccharides*. American Chemical Society.

Jagodzinski, P. P., Wiaderkiewicz, R., Kurzawski, G., Kloczewiak, M., Nakashima, H., Hyjek, E., Yamamoto, N., Uryu, T., Kaneko, Y., Posner, M. R. & Et Al. (1994). Mechanism of the inhibitory effect of curdlan sulfate on HIV-1 infection in vitro. *Virology*, 202, 735-45.

Jeon, K.-J., Katsuraya, K., Kaneko, Y., Mimura, T. & Uryu, T. (1997). Studies on Interaction Mechanism of Sulfated Polysaccharides as an AIDS Drug by NMR. *Macromolecules*, 30, 1997-2001.

Jezequel, V. (1998). Curdlan: A new functional β -glucan *Cereal Foods World*, 43, 361-364.

Jiang, L. (2013). Effect of nitrogen source on curdlan production by *Alcaligenes faecalis* ATCC 31749. *International Journal of Biological Macromolecules*, 52, 218-22.

Jin, L.-H., Um, H.-J., Yin, C.-J., Kim, Y.-H. & Lee, J.-H. (2008). Proteomic analysis of curdlan-producing *Agrobacterium* sp. in response to pH downshift. *Journal of Biotechnology*, 138, 80-87.

Jin, Y., Zhang, H., Yin, Y. & Nishinari, K. (2006). Comparison of curdlan and its carboxymethylated derivative by means of Rheology, DSC, and AFM. *Carbohydrate Research*, 341, 90-99.

Kalil, S. J., Maugeri, F. & Rodrigues, M. I. (2000). Response surface analysis and simulation as a tool for bioprocess design and optimization. *Process Biochemistry*, 35, 539-550.

Khoramnia, A., Ebrahimpour, A., Beh, B. K. & Lai, O. M. (2011). Production of a Solvent, Detergent, and Thermotolerant Lipase by a Newly Isolated Acinetobacter sp. in Submerged and Solid-State Fermentations. *Journal of Biomedicine and Biotechnology*, 2011, 12.

Kim, B., Jung, I., Kim, J., Lee, J. H., Lee, I. & Lee, K. (2000). Curdlan gels as protein drug delivery vehicles. *Biotechnology Letters*, 22, 1127-1130.

Kim, M. K., Ryu, K. E., Choi, W. A., Rhee, Y. H. & Lee, I. Y. (2003). Enhanced production of (1 → 3)-β-d-glucan by a mutant strain of Agrobacterium species. *Biochemical Engineering Journal*, 16, 163-168.

Lee, I. Y. (2005) Curdlan. *Biopolymers Online*. Wiley, pp. 135-141.

Lee, I. Y., Kim, M. K., Lee, J. H., Seo, W. T., Jung, J. K., Lee, H. W. & Park, Y. H. (1999a). Influence of agitation speed on production of curdlan by Agrobacterium species. *Bioprocess Engineering*, 20, 283-287.

Lee, J. H., Lee, I. Y., Kim, M. K. & Park, Y. H. (1999b). Optimal pH control of batch processes for production of curdlan by Agrobacterium species. *Journal of Industrial Microbiology and Biotechnology*, 23, 143-148.

Miller, G. L. (1959). Use of Dinitrosalicylic Acid Reagent for Determination of Reducing Sugar. *Analytical Chemistry*, 31, 426-428.

Naessens, M., Vercauteren, R. & Vandamme, E. J. (2004). Three-factor response surface optimization of the production of intracellular dextran dextrinase by *Gluconobacter oxydans*. *Process Biochemistry*, 39, 1299-1304.

Nakata, M., Kawaguchi, T., Kodama, Y. & Konno, A. (1998). Characterization of curdlan in aqueous sodium hydroxide. *Polymer*, 39, 1475-1481.

Naveena, B. J., Altaf, M., Bhadriah, K. & Reddy, G. (2005). Selection of medium components by Plackett–Burman design for production of l(+) lactic acid by *Lactobacillus amylophilus* GV6 in SSF using wheat bran. *Bioresource Technology*, 96, 485-490.

Özer, E. T. & Güçer, Ş. (2011). Central composite design for the optimisation of Cd and Pb determination in PVC materials by atomic absorption spectrometry after Kjeldahl digestion. *Polymer Testing*, 30, 773-778.

Panesar, P. S., Chavan, Y., Chopra, H. K. & Kennedy, J. F. (2012). Production of microbial cellulose: Response surface methodology

approach. *Carbohydrate Polymers*, 87, 930-934.

Phillips, K. R., Pik, J., Lawford, H. G., Lavers, B., Kligerman, A. & Lawford, G. R. (1983). Production of curdlan-type polysaccharide by *Alcaligenes faecalis* in batch and continuous culture.

Plackett, R. L. & Burman, J. P. (1946). The DESIGN of Optimum Multifactorial Experiments. *Biometrika*, 33, 305-325.

Psomas, S. K., Liakopoulou-Kyriakides, M. & Kyriakidis, D. A. (2007). Optimization study of xanthan gum production using response surface methodology. *Biochemical Engineering Journal*, 35, 273-280.

Renn, D. W. (1997). Purified curdlan and its hydroxyalkyl derivatives: preparation, properties and applications. *Carbohydrate Polymers*, 33, 219-225.

Saitô, H., Ohki, T. & Sasaki, T. (1979). A ¹³C-nuclear magnetic resonance study of polysaccharide gels. Molecular architecture in the gels consisting of fungal, branched (1 → 3)-β-d-glucans (lentinan and schizophyllan) as manifested by conformational changes induced by sodium hydroxide. *Carbohydrate Research*, 74, 227-240.

Saudagar, P. & Singhal, R. (2004). Fermentative production of curdlan. *Applied Biochemistry and Biotechnology*, 118, 21-31.

Sharmila, M., Ramanand, K. & Sethunathan, N. (1989). Effect of yeast extract on the degradation of organophosphorus insecticides by soil enrichment and bacterial cultures. *Canadian Journal of Microbiology*, 35, 1105-1110.

Shen, C., Kosaric, N. & Blaszczyk, R. (1993). Properties of anaerobic granular sludge as affected by yeast extract, cobalt and iron supplements. *Applied Microbiology and Biotechnology*, 39, 132-137.

Sim, J. H. & Kamaruddin, A. H. (2008). Optimization of acetic acid production from synthesis gas by chemolithotrophic bacterium – *Clostridium aceticum* using statistical approach. *Bioresource Technology*, 99, 2724-2735.

Spicer, E. J. F., Goldenthal, E. I. & Ikeda, T. (1999). A toxicological assessment of curdlan. *Food and Chemical Toxicology*, 37, 455-479.

Takeda-Hirokawa, N., Neoh, L.-P., Akimoto, H., Kaneko, H., Hishikawa, T., Sekigawa, I., Hashimoto, H., Hirose, S.-I., Murakami, T., Yamamoto, N., Mimura, T. &

Kaneko, Y. (1997). Role of Curdlan Sulfate in the Binding of HIV-1 gp120 to CD4 Molecules and the Production of gp120-Mediated TNF- α . *Microbiology and Immunology*, 41, 741-745.

Timmusk, S., Nicander, B., Granhall, U. & Tillberg, E. (1999). Cytokinin production by *Paenibacillus polymyxa*. *Soil Biology and Biochemistry*, 31, 1847-1852.

Wang, M., Chen, C., Sun, G., Wang, W. & Fang, H. (2010). Effects of curdlan on the color, syneresis, cooking qualities, and textural properties of potato starch noodles. *Starch - Stärke*, 62, 429-434.

West, T. P. & Nemmers, B. (2008). Curdlan production by *Agrobacterium* sp. ATCC 31749 on an ethanol fermentation coproduct. *Journal of Basic Microbiology*, 48, 65-68.

Wu, J., Zhan, X., Liu, H. & Zheng, Z. (2008). Enhanced Production of Curdlan by *Alcaligenes faecalis* by Selective Feeding with Ammonia Water during the Cell Growth Phase

of Fermentation. *Chinese Journal of Biotechnology*, 24, 1035-1039.

Xia, Z. (2013). Effect of Tween 80 on the production of curdlan by *Alcaligenes faecalis* ATCC 317. *Carbohydrate Polymers*, 98, 178-180.

Zhang, H. & Nishinari, K. (2009). Characterization of the conformation and comparison of shear and extensional properties of curdlan in DMSO. *Food Hydrocolloids*, 23, 1570-1578.

Zhang, L., Zhang, M., Dong, J., Guo, J., Song, Y. & Cheung, P. C. K. (2001). Chemical structure and chain conformation of the water-insoluble glucan isolated from *Pleurotus tuber-regium*. *Biopolymers*, 59, 457-464.

Zhang, R. & Edgar, K. J. (2014). Properties, Chemistry, and Applications of the Bioactive Polysaccharide Curdlan. *Biomacromolecules*, 15, 1079-1096.